

# مطالعه تجربی فشارمبنا در اجسام دو بعدی و تقارن محوری و ارزیابی روشهای نظری توسط آن

محمود مانی\*، محمدرضا سلطانی\* و عبدالعلی حقیری\*\*  
دانشکده مهندسی هوافضا، دانشگاه صنعتی امیرکبیر  
دانشکده مهندسی هوافضا، دانشگاه صنعتی شریف  
مرکز تحقیقات آیرودینامیک قدر، دانشگاه امام حسین

(دریافت مقاله: ۸۱/۵/۱ - دریافت نسخه نهایی: ۸۲/۱۱/۲۵)

چکیده - آزمایشهای تجربی متعددی روی اجسام دو بعدی و تقارن محوری در یک تونل باد برای بررسی و تحلیل نتایج حاصله در راستای اندازه‌گیری فشار مبنا و مقایسه با روابط نظری موجود انجام گرفته است. این آزمایشها برای دستیابی به روش صحیحی برای پردازش نتایج حاصله از آزمون موشک و یا هواپیما برای محاسبه نیروی پسا در سرعتهای مافوق صوت انجام گرفته است. روشهای نیمه تجربی زیادی برای جریانهای دو بعدی و تقارن محوری مطرح می‌باشد که با استفاده از آنها فشار مبنا برای اجسام مذکور محاسبه شده و نتایج آن با نتایج تجربی مقایسه شده است. نتایج حاصله حاکی از آن است که افزایش ضریب فشار مبنا برای مدل دو بعدی با مبنای پله با عدد ماخ به مراتب بیشتر از مدل با میناهای تقارن محوری است. از بین روابط نیمه تجربی موجود روش تانر سازگاری خوبی با نتایج تجربی حاصل از این تحقیقات دارد.

واژگان کلیدی: تونل باد، جریان مافوق صوت، فشار مبنا، مدل دو بعدی، مدل تقارن محوری

## Experimental Study of Base Pressure of Two- Dimensional and Axisymmetric Bodies and Evaluation of The Theoretical Methods

M. Mani<sup>1</sup>, M. R. Sultani<sup>2</sup> and A. Haghiri<sup>3</sup>

Associate Professor Faculty of Aerospace, Amirkabir University of Technology

Associate Professor Faculty of Amirkabir University of Technology

Ghadr Aerodynamics Research Center, Imam Hossein University

**Abstract:** Several experiments involving two-dimensional and axisymmetric bodies have been carried out in a Trisonic wind tunnel at supersonic speeds to investigate and analyse the measured values of base pressure and to compare them with those from the theoretical methods. The objective of the experiments was to obtain an appropriate method for processing the results of wind tunnel tests on rockets or aircraft having base area, hence, base drag. Among numerous semi-empirical methods available for two-dimensional and axisymmetric geometry, the methods presented by Chapman, Korst and Tanner have been utilized to calculate values of base pressure for comparison with the experimental findings for the same model. The results indicate that the pressure increase for the 2-D model with a steplike base is greater than that of the axisymmetric model with the same conditions. The experimental results for all cases considered in this investigation compare well with those from existing the theoretical method developed by Tanner

**Keywords:** Wind tunnel, Supersonic flow, Base flow, Base pressure, Two dimension al model, Axisymmetric model

\*\* - کارشناس ارشد هوا فضا (آیرودینامیک)

\* - دانشیار

$M_D$ عدد ماخ روی خط جریان تقسیمی	$C_{Ds}$ ضریب نیروی پسای گوه و دماغه
$M_\infty$ عدد ماخ در جریان غیر مغشوش	$C_{pB}$ ضریب فشار مینا
$P$ (Pa) فشار استاتیک	$d$ (m) ضخامت بدنه در شروع دم قایقی
$P_B$ (Pa) فشار مینا	$d1$ (m) ضخامت مینا
$P_{D0}$ (Pa) فشارکل روی خط جریان تقسیمی	$D1$ (m) قطر استوانه
$u/u_\infty$ توزیع سرعت در لایه برشی	$FH$ (m <sup>2</sup> ) مساحت مینا
$\Delta S$ (J/Kg.K) افزایش آنتروپی	$F$ (m <sup>2</sup> ) مساحت استوانه
$\beta$ (deg) زاویه موج ضربه‌ای مایل	$H^*/H$ نسبت ضخامت لایه برشی به ارتفاع مبداء موج ضربه‌ای
$\gamma$ نسبت گرمایی ویژه	$M_4$ عدد ماخ پشت موج ضربه‌ای مایل در پایین دست
$\delta_2$ (m) ضخامت لایه مرزی	نقطه اتصال مجدد <sup>۳</sup>
$\rho$ (Kg/m <sup>3</sup> ) جرم حجمی محلی	$M_2$ عدد ماخ در لبه بیرونی ناحیه ترکیبی
$\rho_\infty$ (Kg/m <sup>3</sup> ) جرم حجمی جریان غیر مغشوش	
$\Phi_D$ سرعت بی بعد در جریان تقسیمی	

#### ۱- مقدمه

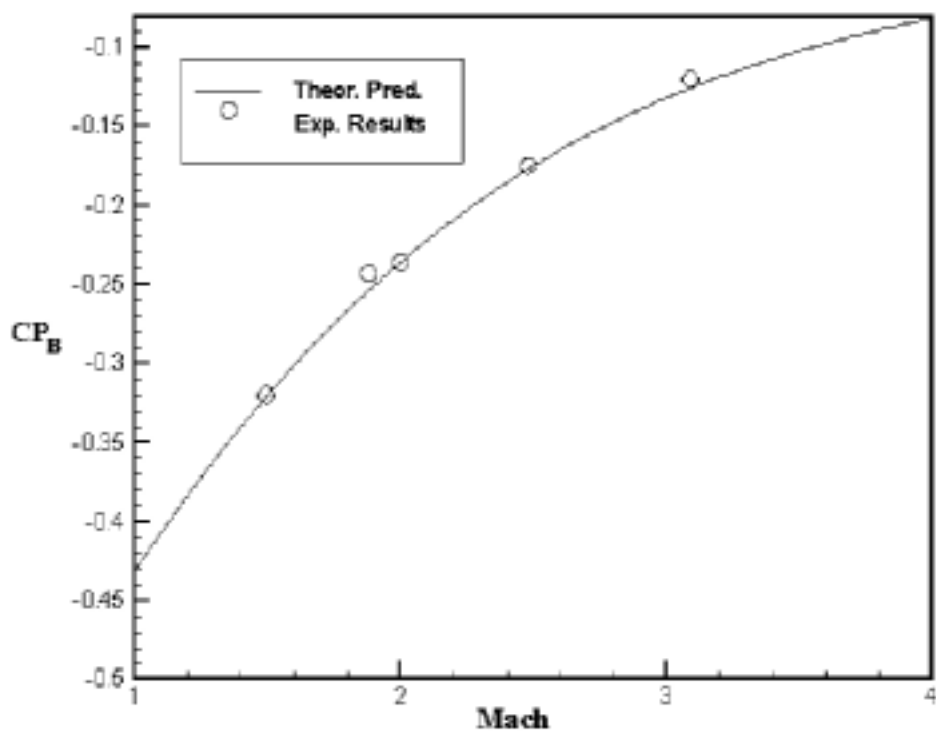
میدان جریان در پایین دست وسایل پرنده از قبیل پرتابه‌ها یا موشکها نتیجه واکنشهای پیچیده‌ای است که روشهای موجود قادر به پیش بینی دقیق آنها نیستند. در این راستا پژوهشهای زیادی از طریق روشهای تجربی و روابط نظریه انجام گرفته است که هرکدام مشکلات خاص خودشان را دارند [۱-۱۰].

روشهای محاسباتی موجود هنوز قادر به حل دقیق جریان در این نواحی نیستند و برای حل کامل آنها به علت پیچیدگی جریان از قبیل لزجت، جدایش، مدلسازی آشفتگی و غیره نیاز به رایانه با حافظه و سرعت بالاست. گرچه اخیراً پیشرفتهای شگفت‌انگیزی در این زمینه شده‌است ولی هنوز هم برای رسیدن به جواب خصوصاً در حالت‌های مختلف نیاز به زمان نسبتاً طولانی و مدلسازی دقیق آشفتگی است. بنابراین ضرورت ارائه یک روش نیمه تجربی با حجم کمی از محاسبات ولی با دقت قابل قبول برای پیش بینی سریع نیروی حاصله از فشار مینا، نیروی پسا، در شرایط آزمایش آشکار است. روشهای نیمه تجربی زیادی برای محاسبه فشار مینا وجود دارد که مسئله را برای اجسام ساده حل کرده‌اند. دقیقترین آنها روش چاپمن-کراست و تانر [۱-۳] هستند. روش کراست [۶] بر اساس نقطه

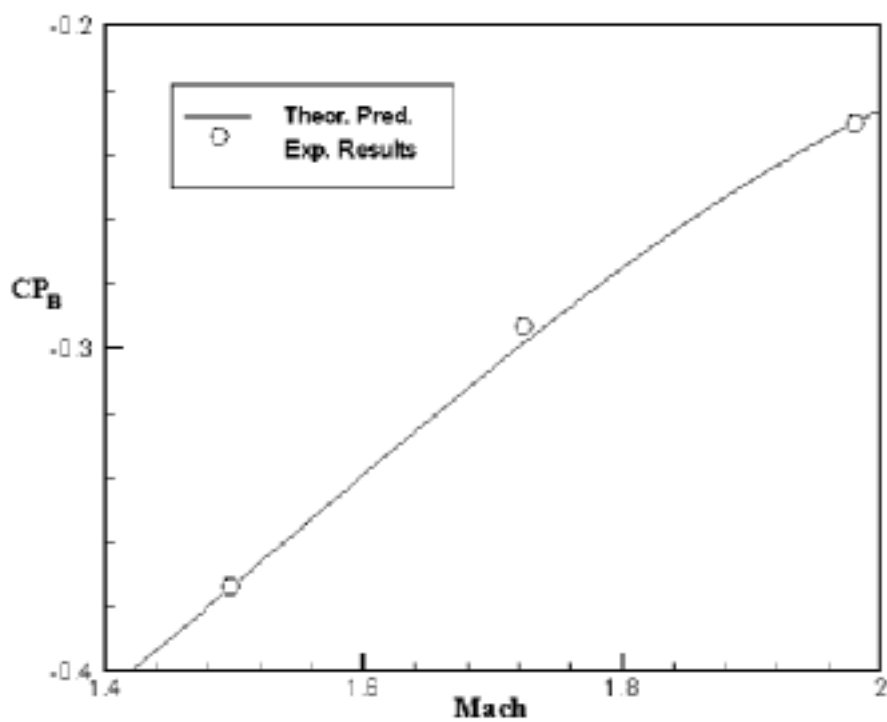
جدایش و چسبیدگی دوباره جریان در پایین دست است. فرض می‌شود که در خارج از ناحیه هوای مرده خط جریانی وجود دارد که در آن انرژی مکانیکی به انرژی جنبشی بعد از موج ضربه‌ای تبدیل می‌شود. بنابراین با برابر قرار دادن فشار کل روی خط جریان مذکور،  $P_{D0}$ ، با فشار استاتیک پشت موج ضربه‌ای مایل،  $P_4$ ، فشار مینا محاسبه می‌شود.

جدیدترین روش موجود موسوم به روش تانر [۱] است که تمام نواحی جریان را تحلیل می‌کند. این روش برای اجسام دو بعدی و متقارن نظیر پله، سیلندر و غیره جوابهای نسبتاً خوبی ارائه می‌کند ولی برای اجسام پیچیده مثل موشک و هواپیما و غیره جواب دقیقی ارائه نمی‌کند.

برای به دست آوردن نیروی پسای یک مدل که در جریان مافوق صوت در تونل باد مورد آزمایش قرار می‌گیرد، نتایج حاصله از بالانس، وسیله اندازه‌گیری بارهای وارده بر مدل که از سطح انتهایی به مدل متصل شده و باعث حذف دنباله پشت مدل می‌شود، به تنهایی قابل قبول نیست. این بدین دلیل است که فشار مینا سهم به‌سزایی روی این نیرو، نیروی پسا، دارد و اثرات آن را نمی‌توان نادیده گرفت. نکته دیگر اینکه اثرات عدد ماخ بر روی فشار مینا نیز قابل ملاحظه است. در شکل‌های (۱) و (۲)



شکل ۱- تغییرات ضریب فشار مبنا برحسب عدد ماخ،  $M_{\infty}$ ، پشت یک پله [۲]



شکل ۲- تغییرات ضریب فشار مبنا نسبت به عدد ماخ،  $M_{\infty}$ ، پشت گوه با زاویه ۸ درجه [۱]

اثرات عدد ماخ بر روی ضریب فشار مبنا،  $C_{PB}$ ، برای یک پله ساده و یک گوه به ترتیب نشان داده شده است. نتایج تجربی با نتایج نظری نیز مقایسه شده است.

همان طوری که در این شکل دیده می شود با ازدیاد عدد ماخ فشار مبنا کاهش یافته که این کاهش باعث افزایش نیروی پسا می شود. حتی در عدد ماخ یک ضریب فشار برای پله برابر  $C_{PB} = -0.431$  است که این کاهش فشار باعث می شود که نیروی محوری اندازه گیری شده توسط بالانس از دقت خوبی برخوردار نبوده و نیاز به اصلاح داشته باشد. روش اصلاح در تونلهای باد مافوق صوت عمدتاً بدین گونه است که در یک نقطه مبنای مدل فشار استاتیک اندازه گیری می شود، با فرض ثابت بودن این فشار در تمام سطح انتهایی مدل فشار به دست آمده در سطح مبنا ضرب شده و نیروی حاصله با نیروی اندازه گیری شده توسط بالانس جمع جبری می شود و به عنوان نیروی پسای مدل ارائه می شود. دلیل اینکه فشار در یک نقطه انتهایی مدل اندازه گیری می شود این است که مدل های مورد استفاده در تونلهای باد مافوق صوت بسیار کوچک اند و اندازه گیری نیروها با بالانسهای داخلی انجام می گیرد. بنابراین فضای زیادی برای اندازه گیری بیش از یک نقطه فشار استاتیک در انتهای مدل موجود نیست. دلیل عمده این پژوهش مقایسه نتایج نظری و اثبات این است که اندازه گیری فشار در یک نقطه سطح انتهایی مدل کافی است. همچنین مقایسه نتایج تجربی حاصله با روشهای موجود نیمه تجربی در شرایط یکسان برای استفاده از دقیقترین آنها در آزمونهای آتی است. در این پژوهش با استفاده از روشهای نظری و نظری - تجربی موجود توزیع فشار روی دو بدنه دو بعدی و تقارن محوری و همچنین مبنای آنها محاسبه شده است. نتایج به دست آمده با نتایج حاصله از آزمایش همان مدلها در تونل باد سه منظوره در اعداد ماخ  $1/5 \leq M_{\infty} \leq 2$  مقایسه شده است.

## ۲- روشهای نظری

روشهای نظری که در این پژوهش استفاده شدند، روشهای کراست و تانر [۱ و ۲] هستند. در روش کراست [۲] فرض

می شود که یک جریان با ضخامت لایه مرزی ناچیزی در انتهای بدنه جدا شده و سپس در نقطه ای در پایین دست آن می چسبد. در نقطه اتصال مجدد موج ضربه ای مایلی تشکیل شده که باعث برگرداندن جریان به جهت جریان اصلی می شود، شکل (۳-الف). با فرض آیزنتروپیک بودن جریان روی خط جریان تقسیمی،  $D$ ، فشار کل روی این خط ثابت بوده و معادله آیزنتروپیک زیر صادق است.

$$P_{D_0} = P_B \left[ 1 + \frac{\gamma - 1}{2} M_D^2 \right]^{\frac{\gamma}{\gamma - 1}} \quad (1)$$

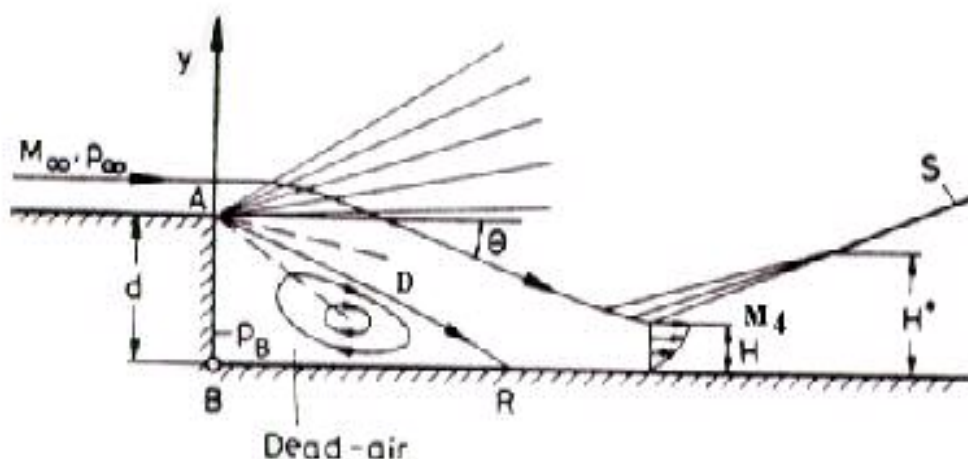
کراست [۲] با استفاده از نتایج تجربی قبلی خود فرض کرده که فشار کل روی خط جریان  $D$ ، با فشار استاتیک پشت موج ضربه ای مایل برابر بوده و با یک روش سعی و خطا فشار مبنا را برای یک پله ساده بدون در نظر گرفتن ضخامت لایه مرزی محاسبه کرد.

$$\frac{P_B}{P} = \left[ \frac{1 + \frac{\gamma - 1}{2} M_4^2}{1 + \frac{\gamma - 1}{2} \frac{M_4}{1 - \phi_D^2}} \right]^{\frac{\gamma}{\gamma - 1}} \quad (2)$$

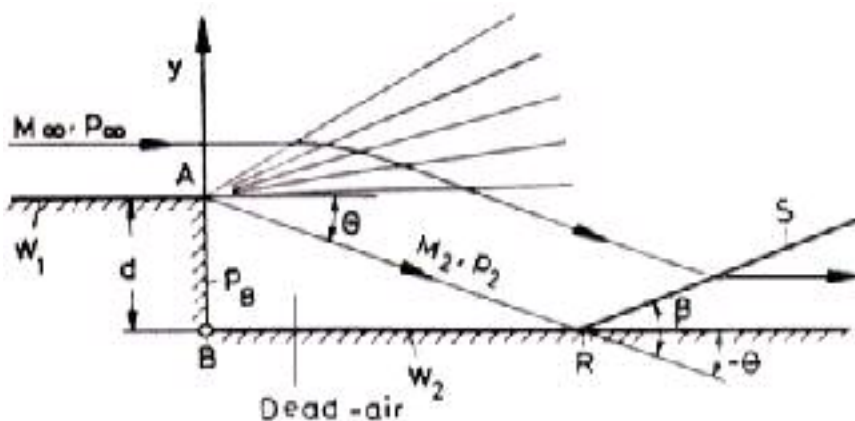
روش کراست برای بدنه کامل شامل گوه - بدنه و دم قایقی به روش معادل سازی با یک پله اعمال شده و نتایج در منحنیهای مربوطه آورده شده است.

روش تانر [۱] نیز برای حالت دوبعدی و تقارن محوری مطرح شده است. در شکل (۳-ب) جریان مافوق صوت غیر لزج در حال عبور از پله، نقطه  $A$ ، نشان داده شده است. جریان در نقطه  $A$  جدا شده و در نقطه  $R$  دوباره به بدنه می چسبد. خط جریان،  $AR$ ، با جریان آزاد زاویه  $\theta$  می سازد. بر اساس نظریه اسواتیش [۷] افزایش آنتروپی این جریان متناسب با پسای حاصله از جدایش جریان در مبنا (پشت پله) است. این افزایش آنتروپی در نقطه چسبندگی،  $R$ ، باعث ایجاد موج ضربه ای مایل،  $S$ ، می شود.

جریان مبنای مافوق صوت لزج در شکل (۳-الف) نشان داده شده است. در این شکل فرض می شود که ضخامت لایه مرزی



شکل ۳- الف - جریان لزج



شکل ۳- ب - جریان غیر لزج

شکل ۳ - جریان مافوق صوت (دو بعدی) در حال عبور از یک پله

در این صورت براساس معادلهٔ اسواتیش [V] افزایش آنتروپی در دو حالت یکسان می‌شود. در نتیجه شار آنتروپی در لایه مرزی برشی با آنتروپی تولید شده در مقطع موج ضربه‌ای برابر می‌شوند. با مساوی قرار دادن این دو مقدار در لایه برشی و موج ضربه‌ای مایل معادلهٔ زیر به دست می‌آید [۱].

$$K (M_\infty)^\gamma M_\infty^2 = \ln \left\{ \frac{1}{\left[ \frac{1 + \frac{2\gamma}{\gamma+1} (M_2^2 \sin^2 \beta - 1)}{\gamma-1} \right]^{\gamma-1}} \right\} \times \frac{H^*}{H} \quad (4)$$

بسیار نازک باشد. این جریان بعد از جدایی، نقطه A، باعث ایجاد یک ناحیه چرخشی و نتیجتاً لایه برشی می‌شود. گام افزایش آنتروپی در این جریان برابر است با:

$$\Delta S = \Delta S_1 + \Delta S_2 \quad (3)$$

که  $\Delta S_2$  افزایش آنتروپی در مقطع موج ضربه‌ای مایل و  $\Delta S_1$  افزایش آنتروپی ناشی از لایه مرزی برشی است. با فرض نازک بودن ضخامت لایه مرزی اثر اصطکاک پوسته‌ای ناچیز است. بنابراین با دقت مناسبی می‌توان نیروی پسای مینا و نتیجتاً فشار مینا را در دو حالت لزج و غیر لزج یکسان در نظر گرفت [۱].

برای یک بدنه کامل، اثرات هر کدام از قسمت‌ها و ضخامت لایه مرزی بررسی شده و معادله کلی با وجود لایه مرزی، دماغه و دم قایقی به صورت زیر به دست می‌آید.

(۹)

$$\frac{C_{PB}}{C_{PB} - 8 \frac{\delta_2}{D_1} + 0.008} \times \frac{C_{PB} - C_{DS}}{C_{PB}} \times \frac{F_H}{F}$$

$$K_R (M_\infty) \frac{\gamma}{2} M_\infty^2 = F(M_2, \beta) \left( \frac{H^*}{H} \right)^2$$

که عبارتهای سمت چپ معادله اثرات ضخامت لایه مرزی، وجود دماغه و دم قایقی می‌باشد. با پیدا کردن مقدار مناسب  $\beta$ ،  $M_2$  از روش سعی و خطا و ارضای معادله ۴، ضریب فشار مبنا در حالت تقارن محوری به دست می‌آید. نکته قابل توجه در جریان تقارن محوری این است که برای محاسبه فشار مبنا از تشابه بین جریان مخروطی و جریان دنباله استفاده می‌شود که به روش کوپال معروف است، شکل ۵ [۱]. چون هدف اصلی این پژوهش بررسی روشهای موجود و مقایسه آنها با نتایج تونل باد است، نظریه‌های به کار رفته به اختصار بیان شده است. برای اطلاعات بیشتر در مورد روشهای نیمه تجربی موجود به مرجع [۱۰] رجوع شود. با استفاده از معادلات فوق یک برنامه رایانه‌ای برای محاسبه فشار مبنا در اعداد ماخ مختلف نوشته شده که نتایج آن با نتایج حاصل از تونل باد مقایسه شده و در ادامه مورد بحث قرار خواهد گرفت.

### ۳- تونل باد

در شکل (۶) تونل باد سه منظوره‌ای که در این آزمایشها از آن استفاده شده نشان داده شده است. این تونل باد از نوع مکنده بوده و در محدوده ماخ  $0.4 \leq M_\infty \leq 2.2$  کار می‌کند که در طرح بهینه سازی قرار است تا عدد ماخ  $M_\infty = 4$  ارتقاء یابد. اجزای تشکیل دهنده این تونل باد شامل ورودی، لانه زنبوری، محفظه آرامش، شیپوره همگرا-واگرا، مقطع آزمایش، دیفیوزر اول، ازکتور، دیفیوزر دوم، موتورجت و هادی گازهای خروجی است.

معادله ۴ برای جریانی که از یک پله ساده مطابق شکل (۳-ب) عبور می‌کند با فرض نازک بودن لایه مرزی است، و برای یک بدنه مفروض در عدد ماخ متناسب ارضا می‌شود. با استفاده از این فرمول، معادله ۴، و معادلات آیزنتروییک می‌توان ضریب فشار مبنا را محاسبه کرد. مقدار  $H^*/H = \sqrt{37}$  است که از طریق تجربه [۱] به دست آمده است. تابع  $K(M_\infty)$  به صورت زیر تعریف می‌شود:

$$K(M_\infty) = 2 \int_0^1 \frac{\rho}{\rho_\infty} * \frac{u}{u_\infty} * \left(1 - \frac{u}{u_\infty}\right) \frac{dY}{H} \quad (5)$$

در توسعه این روش برای یک بدنه کامل اثرات هر کدام از قسمت‌ها و ضخامت لایه مرزی بررسی شده و معادله کلی برای بدنه‌های مختلف به صورت زیر به دست می‌آید [۱].

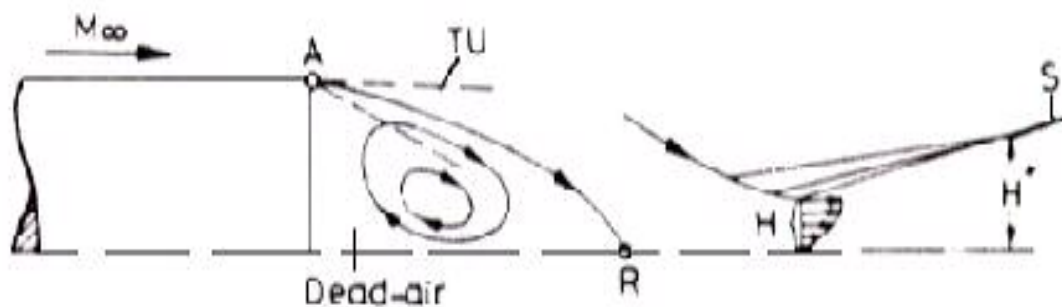
$$\frac{C_{PB}}{C_{PB} - 2 \frac{\delta_2}{d_1} + 0.006} \times \frac{C_{PB} - C_{DS}}{C_{PB}} \times \frac{dI}{d} \quad (6)$$

$$K(M_\infty) \frac{\gamma}{2} M_\infty^2 = F(M_2, \beta) \times \frac{H^*}{H}$$

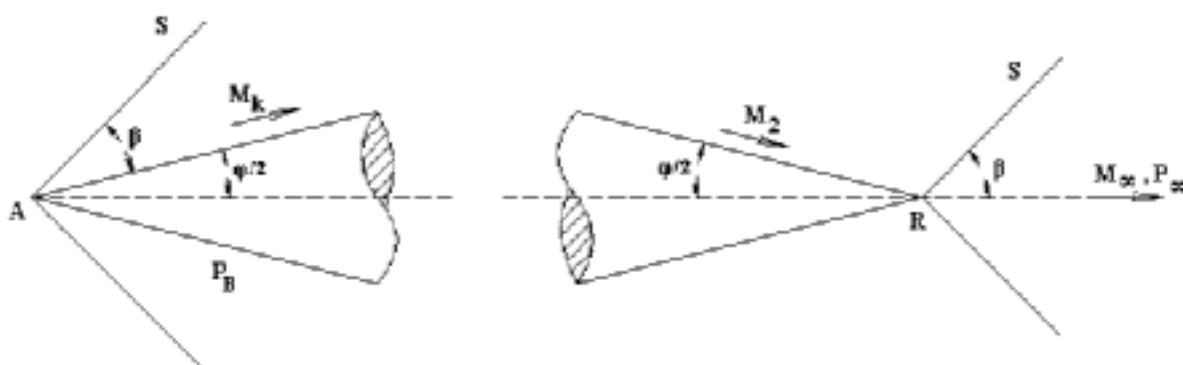
که عبارتهای موجود در سمت چپ معادله اثر ضخامت لایه مرزی، وجود گوه و دم قایقی است. روش تانر [۱] در حالت تقارن محوری، عبور جریان از استوانه ساده با ضخامت لایه مرزی ناچیز، بدین صورت است که مطابق شکل (۴) جریان از انتهای بدنه جدا شده و سپس در راستای خط مرکزی استوانه در نقطه اتصال مجدد با ایجاد یک موج ضربه‌ای هم‌جهت با جریان آزاد می‌شود. با توجه به دلایل ارائه شده در حالت دو بعدی معادله‌ای مشابه معادله ۴ برای بدنه تقارن محوری به دست می‌آید با این تفاوت که نسبت  $\frac{H^*}{H}$  به صورت  $\left(\frac{H^*}{H}\right)^2$  تغییر کرده و مقدار آن به همراه پارامتر  $K_R(M_\infty)$  در ذیل آورده شده است.

$$K_R(M_\infty) = 4 \int_0^1 \frac{\rho}{\rho_\infty} \times \frac{u}{u_\infty} \times \left(1 - \frac{u}{u_\infty}\right) \times \frac{Y dY}{H} \quad (7)$$

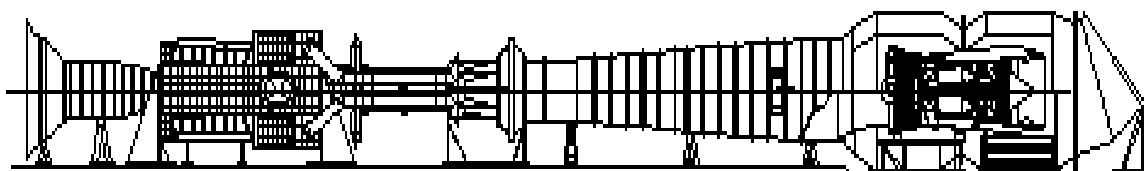
$$\left(\frac{H^*}{H}\right)^2 = 2 \left[ 1 + \frac{1}{0.00387 M_\infty^{3.2}} \right] \quad (8)$$



شکل ۴- جریان مافوق صوت تفارن محوری لزج



شکل ۵- تشابه سازی جریان مخروطی بادنباله



شکل ۶- شماتیکی از تونل باد سه منظوره (Trisonic) دانشگاه امام حسین (ع)

تعبیه شده است. در داخل مقطع آزمایش، سیستم تغییرات زاویه حمله که به وسیله رایانه قابل کنترل است، قادر است مدل را در حال حاضر در زوایای حمله  $18^\circ \leq \alpha \leq -6^\circ$  تغییر دهد. البته با یک آلفامکانیزم ویژه محدوده زاویه حمله مدل در این تونل، بسته به نوع و اندازه مدل می‌تواند تا  $90^\circ$  درجه باشد. در این تونل انواع آزمایشها شامل اندازه‌گیری توزیع فشار، توزیع دما و بارهای وارده روی مدل در حالت استاتیکی و دینامیکی قابل

مقطع آزمایش دارای ابعاد  $140 \times 60 \times 60$  سانتی متر است. دیواره‌های بالا و پایین این مقطع برای حذف اثرات لایه مرزی و جلوگیری از انعکاس موج ضربه‌ای متخلخل ساخته شده است. نسبت سطح تخلخل به سطح کل، متناسب با رژیم جریان، قابل تغییر است. در دو دیواره جانبی مقطع آزمایش، دریچه‌های متحرک و شفاف برای نصب مدل در داخل تونل و مشاهده مدل و یا جریان روی مدل با استفاده از تجهیزات آشکارسازی جریان

انجام است. همچنین ابزار آلات ویژه‌ای برای اندازه‌گیری گشتاور لولایی، چرخش آزاد مدل، شبیه‌سازی گازخروجی موتورهای موشک و هواپیما مهیاست. در شکل (۷) تصویر مقطع آزمایش تونل به همراه مدل‌های دو بعدی و تقارن محوری نشان داده شده است. از این تونل باد تابه حال برای آزمایش مدل‌های مختلف موشک، هواپیما و غیره استفاده شده و نتایج با داده‌های موجود اعم از محاسباتی و تجربی مقایسه شده و رضایتبخش بوده است.

#### ۴- وسایل اندازه‌گیری

تونل باد سه منظوره موجود در حال حاضر مجهز به بالانس‌های داخلی سه و شش مولفه در محدوده‌های مختلف، بارومتر، مانومتر جیوه‌ای بسیار دقیق، مانومتر چند شاخه‌ای، سنسورهای الکتریکی فشار و سیستم اخذ و پردازش اطلاعات است. با استفاده از بالانسها، می‌توان نیروها و گشتاورهای وارده بر مدل را در سرعتها و زوایای حمله مختلف به‌دست آورد. مانومتر جیوه‌ای و سنسورهای الکتریکی به منظور اندازه‌گیری عدد ماخ در مقطع آزمایش و فشار در نقاط مورد نظر مدل و تونل به کار گرفته می‌شود.

#### ۵- مدل مورد آزمایش

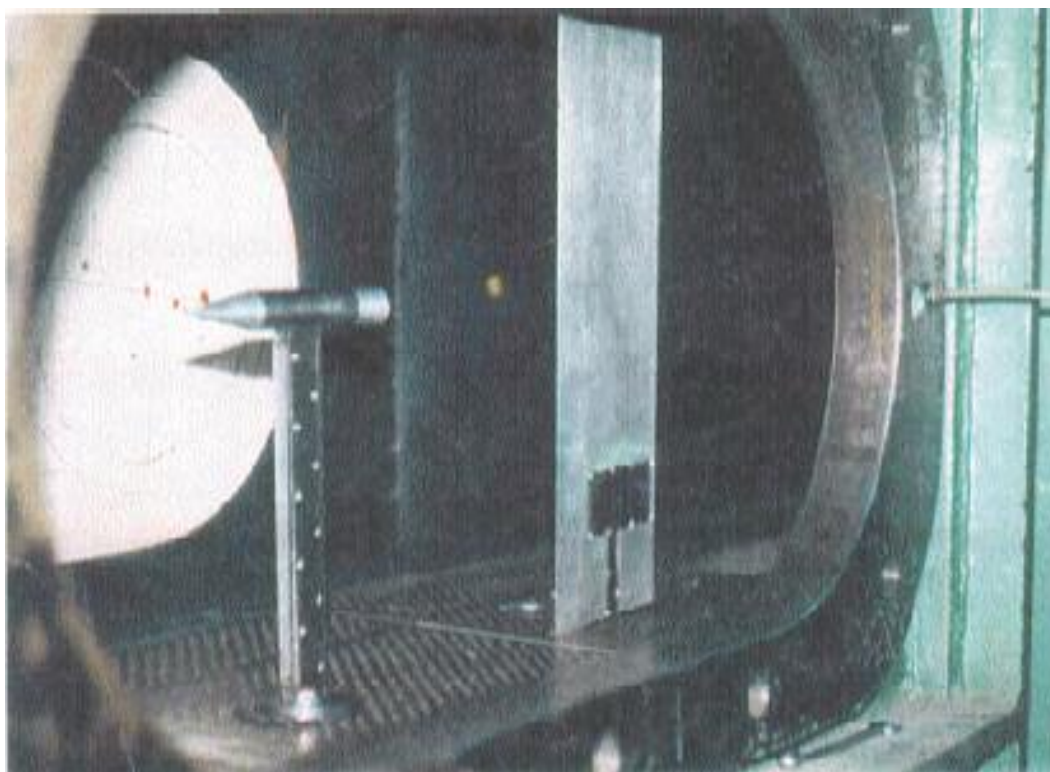
همان‌طور که قبلاً ذکر شد، دو مدل برای انجام آزمایشهای دو بعدی و تقارن محوری ساخته شده است. هدف اصلی از انجام این آزمایشها اندازه‌گیری فشار در سطوح مختلف و مبنای هر مدل است. در شکل (۸) شماتیک مدل‌های دو بعدی و تقارن محوری که شامل گوه یا مخروط و دم قایقی است به همراه سوراخهای فشار که روی آن تعبیه شده نشان داده شده است. مدل دو بعدی، شکل ۸-الف از جنس آلومینیم بوده و طول بدنه آنها ۶۰ سانتی متر می‌باشد. سوراخهای فشاری به قطر ۰/۵ میلیمتر در نقاط مختلف مدل، گوه، بدنه، دم قایقی و مینا تعبیه شده است. برای بررسی توزیع فشار در سطح انتهایی مدل دو بعدی در دو ردیف سه تایی سوراخهای فشار، تعبیه شده است.

مدل تقارن محوری (برای آزمایش سه بعدی) که شامل دماغه، استوانه و دم قایقی است به همراه سوراخهای فشار در شکل (۸-ب) نشان داده شده است. مدل از جنس فولاد بوده و اندازه آن با توجه به امواج برگشتی در تونل محاسبه شده است. سوراخهای فشاری در نقاط مختلف مدل و مبنای آن تعبیه شده است.

#### ۶- تحلیل نتایج

کلیه آزمایشات در تونل باد سه منظوره در عددهای ماخ  $1/5 \leq M_{\infty} \leq 2$  انجام گرفته است. در شکل (۹) توزیع فشار روی مدل‌های دو بعدی و تقارن محوری در عدد ماخ  $M_{\infty} = 2$  نشان داده شده است. نتایج تجربی و نظری نیز با یکدیگر مقایسه شده است. شماتیک مدل به همراه نقاط اندازه‌گیری فشار نیز در همین شکل آورده شده است. در حالت دو بعدی نتایج فشار حاصله از تونل در دماغه مدل، پشت شوک مایل، و همچنین روی بدنه، بعد از موجهای انبساطی، با نتایج نظریه‌های موجود کاملاً مطابقت دارد. در صورتی‌که در پشت مدل پس از انبساط دوم نتایج نظری و تجربی کاملاً تطابق ندارند و نتایج حاصله از محاسبات ضریب فشار کمتری نسبت به نتیجه حاصله از تونل باد ارائه می‌دهد. علت این پدیده می‌تواند به خاطر اثرات لزجت و آشفتگی جریان در مقطع کاری این تونل باشد. در حالت تقارن محوری نتایج تجربی و نظری، در پشت شوک مخروطی شکل نیز مقایسه شده که تطابق نسبتاً خوبی بین نتایج وجود دارد. البته در انتهای مدل روابط نظری موجود (قابل دسترس) قادر به پیش بینی دقیق فشار نیست بنابراین فقط نتیجه آزمایش نشان داده شده است. همان طوری که از این شکل پیداست، فشار پشت موج ضربه‌ای (روی سطح مخروط) افزایش می‌یابد. ولی روی استوانه متصل به مخروط، به دلیل وجود موج انبساطی کاهش فشار مشهود است. نکته دیگر اینکه کاهش فشار روی مدل تقارن محوری به دلیل درجه آزادی بیشتر، کمتر از کاهش فشار روی مدل دو بعدی است.



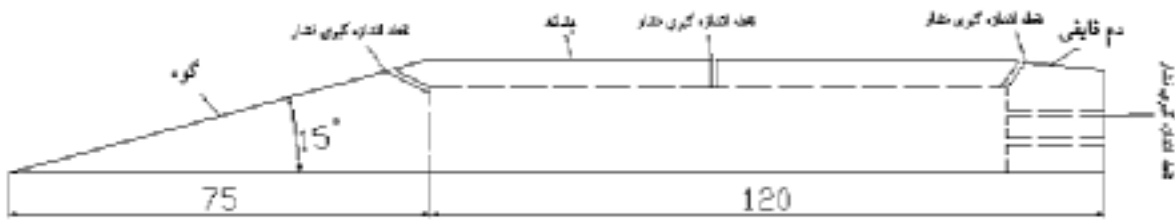


شکل ۷ - مقطع کاری تونل باد به همراه مدل‌های دو بعدی و تقارن محوری

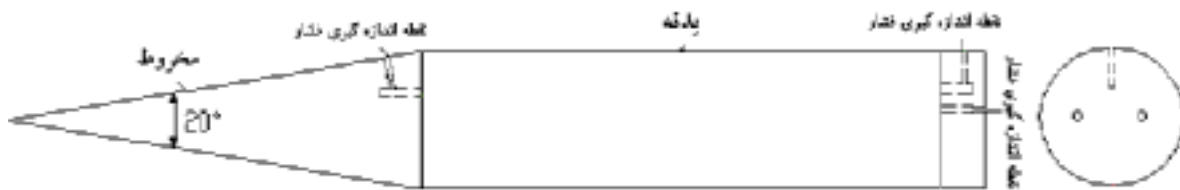
در شکل (۱۰) توزیع فشار روی دو مدل تقارن محوری و دو بعدی هر دو با دم قایقی، برای عدد ماخ  $M_\infty = 1/5$  نشان داده شده است. همان طوری که از شکل پیداست در ناحیه دم قایقی مدل تقارن محوری، فشار ابتدا به دلیل موج انبساطی بلافاصله پس از سیلندر کاهش یافته،  $C_p = -0.1$ ، ولی در انتهای دم قایقی قبل از مبنا، فشار دوباره افزایش می‌یابد،  $C_p \approx 0.049$ . این افزایش فشار احتمالاً به دلیل زاویه بیش از حد دم قایقی،  $11/3$  درجه، (معمولاً در موشکها این زاویه نباید بیش از حدود ۷ درجه باشد) است که باعث جدایش سریع جریان در این ناحیه شده است. پس از انبساط دوم در انتهای بوت تیل، مبنا، به نظر می‌رسد که  $C_p$  تقریباً مساوی صفر خواهد شد، گرچه به دلیل وجود لزجت  $C_p$  هرگز دقیقاً صفر نمی‌شود. اثرات سه بعدی بودن جریان روی مدل تقارن محوری با در نظر گرفتن ضریب فشار پشت موج ضربه‌ای مایل کاملاً واضح است. در پشت موج ضربه‌ای فشار روی گوه به مراتب بیشتر از فشار روی مخروط است  $C_{p2-D} \approx 0.7$  ولی

در شکل (۱۱-الف) و (ب) ضریب فشار مبنا،  $C_{PB}$ ، برای دو مدل مورد آزمایش در نقاط اندازه‌گیری شده برای عددهای ماخ مختلف، نشان داده شده است. همان گونه که از شکل پیداست در هر عدد ماخ ضریب فشار برای هر دو مدل متفاوت است، فشار مبنا برای مدل تقارن محوری کمتر از فشار مبنا برای مدل دو بعدی است. نکته مهم دیگر اینکه در نظریه‌های موجود فرض بر این است که فشار مبنا ثابت است و به همین دلیل در

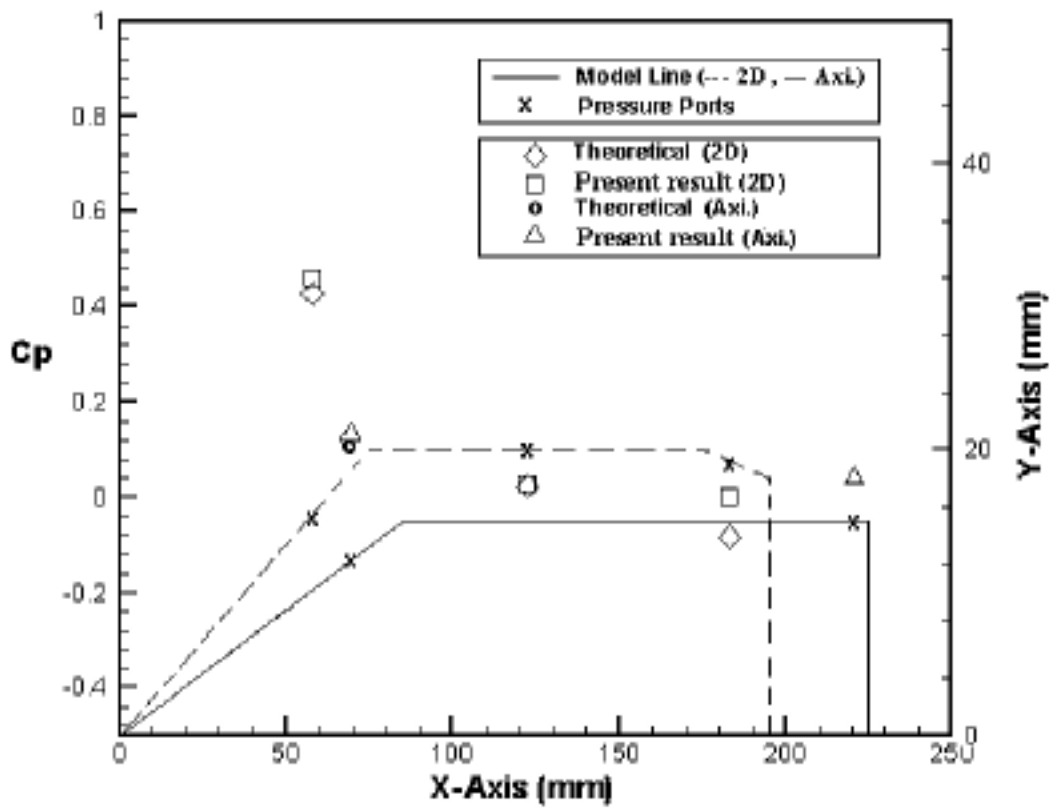
در شکل (۱۰) توزیع فشار روی دو مدل تقارن محوری و دو بعدی هر دو با دم قایقی، برای عدد ماخ  $M_\infty = 1/5$  نشان داده شده است. همان طوری که از شکل پیداست در ناحیه دم قایقی مدل تقارن محوری، فشار ابتدا به دلیل موج انبساطی بلافاصله پس از سیلندر کاهش یافته،  $C_p = -0.1$ ، ولی در انتهای دم قایقی قبل از مبنا، فشار دوباره افزایش می‌یابد،  $C_p \approx 0.049$ . این افزایش فشار احتمالاً به دلیل زاویه بیش از حد دم قایقی،  $11/3$  درجه، (معمولاً در موشکها این زاویه نباید بیش از حدود ۷ درجه باشد) است که باعث جدایش سریع جریان در این ناحیه شده است. پس از انبساط دوم در انتهای بوت تیل، مبنا، به نظر می‌رسد که  $C_p$  تقریباً مساوی صفر خواهد شد، گرچه به دلیل وجود لزجت  $C_p$  هرگز دقیقاً صفر نمی‌شود. اثرات سه بعدی بودن جریان روی مدل تقارن محوری با در نظر گرفتن ضریب فشار پشت موج ضربه‌ای مایل کاملاً واضح است. در پشت موج ضربه‌ای فشار روی گوه به مراتب بیشتر از فشار روی مخروط است  $C_{p2-D} \approx 0.7$  ولی



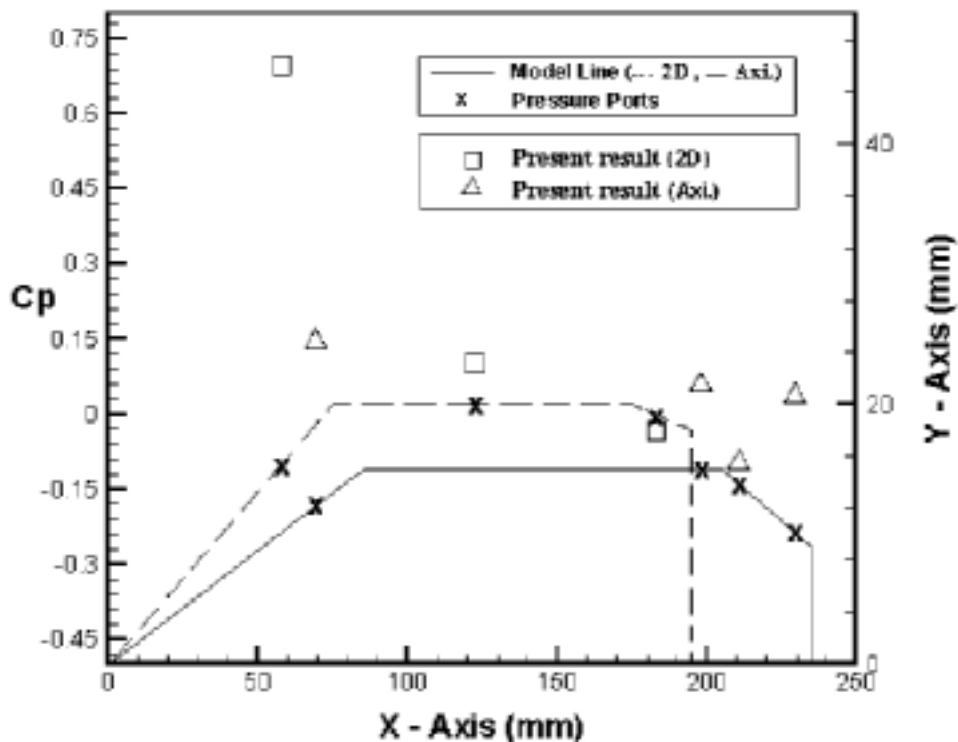
شکل ۸ - الف) مدل دو بعدی



شکل ۸ - ب) مدل تقارن محوری  
شکل ۸ - شماتیک مدل‌های استفاده شده



شکل ۹ - توزیع ضریب فشار روی مدل تقارن محوری و مدل دوبعدی،  $M_\infty = 2/0$

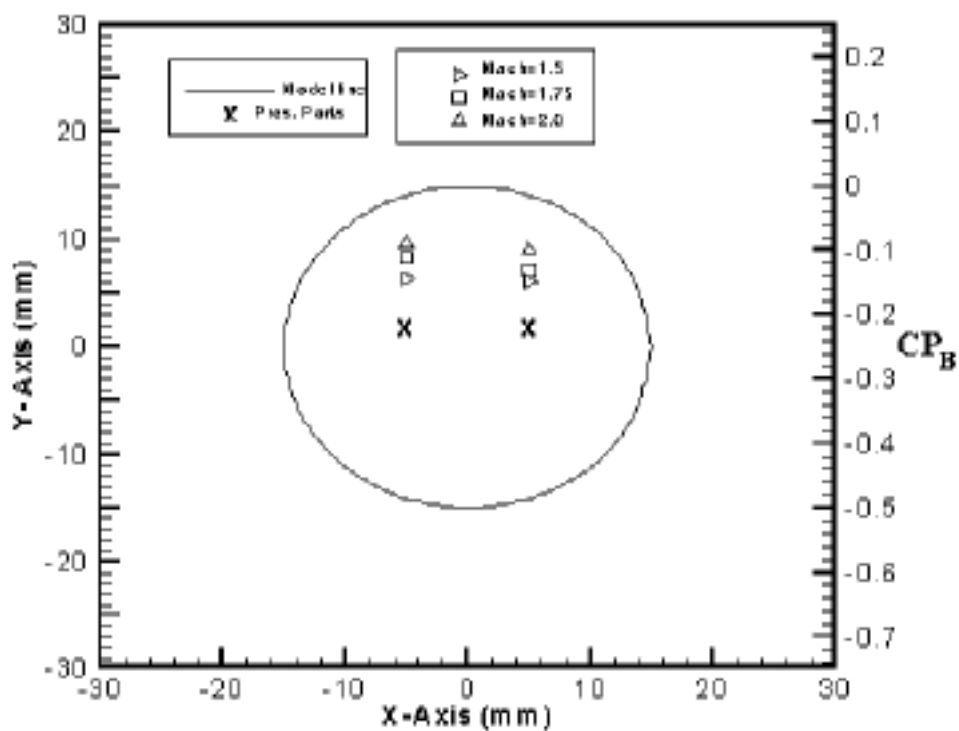


شکل ۱۰ - توزیع ضریب فشار روی مدل تقارن محوری و دو بعدی،  $M_{\infty} = 1/5$

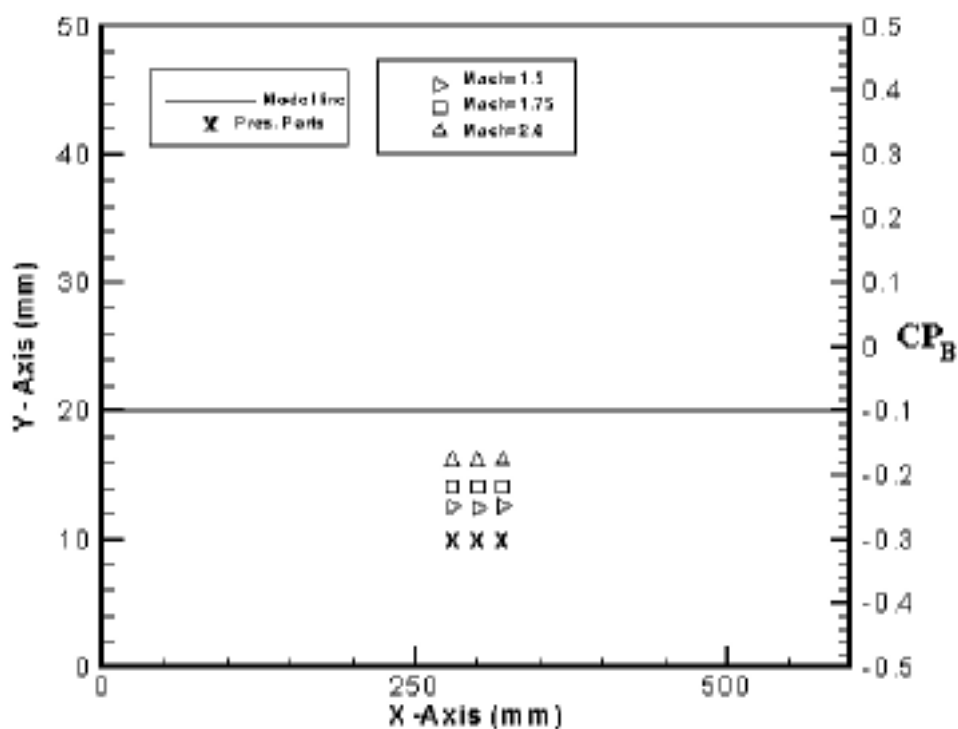
اثرات عدد ماخ روی ضریب فشار مینا یک استوانه ساده در شکل (۱۳) با نتایج نظریه‌های موجود [۱] مقایسه شده است. شماتیک این استوانه در شکل (۴) آورده شده است. همانند شکل (۱۲) با ازدیاد عدد ماخ  $C_{PB}$  افزایش می‌یابد ولی گام افزایش به مراتب کمتر از حالت مشابه برای جسم دو بعدی است. این به دلیل درجه آزادی بیشتر جریان روی اجسام تقارن محوری است. در مقایسه این دو شکل، (۱۲ و ۱۳)، دیده می‌شود که در عددهای ماخ آزمایش شده  $|C_{PB}|$  برای مدل دو بعدی به مراتب بیشتر از  $|C_{PB}|$  برای مدل تقارن محوری است. مقایسه نتایج نظری با نتایج آزمایش نشانگر آن است که برای اجسام تقارن محوری نظریه تانر [۱] از دقت بیشتری برخوردار است. در شکل (۱۴) اثرات عدد ماخ روی ضریب فشار مینای یک مدل دو بعدی که شماتیک آن در شکل (۸-الف) نشان داده شده است، با نتایج نظری مقایسه شده است. این جسم از ترکیب گوه، بدنه و دم قایقی تشکیل شده و فشار مینا در انتهای دم

بیشتر آزمایشات برای به دست آوردن فشار مینا فقط فشار در یک نقطه اندازه‌گیری می‌شود (البته دلیل دیگر اندازه مدل است که امکان اندازه‌گیری بیش از یک نقطه وجود ندارد). با مشاهده شکل‌های (۱۱-الف) و (ب) مشخص می‌شود که فشار مینا برای هر دو مدل در هر مقطع دارای توزیع ثابتی است که گواه صحت نتایج نظری است.

در شکل (۱۲) اثرات عدد ماخ روی ضریب فشار مینا یک جسم ساده، پله که شماتیک آن در شکل (۳-ب) نشان داده شده است. نتایج حاصله از تونل باد با آخرین نظریه‌های موجود [۱ و ۲] مقایسه شده است. با افزایش عدد ماخ ضریب فشار مینا،  $C_{PB}$ ، افزایش می‌یابد. در مقایسه با نظریه‌های موجود، نتایج نظریه تانر [۱] از دقت بیشتری برخوردار است. در صورتی که به نظر می‌رسد نتایج حاصله از نظریه کراست [۲] در عددهای ماخ بالا بهبود می‌یابد.

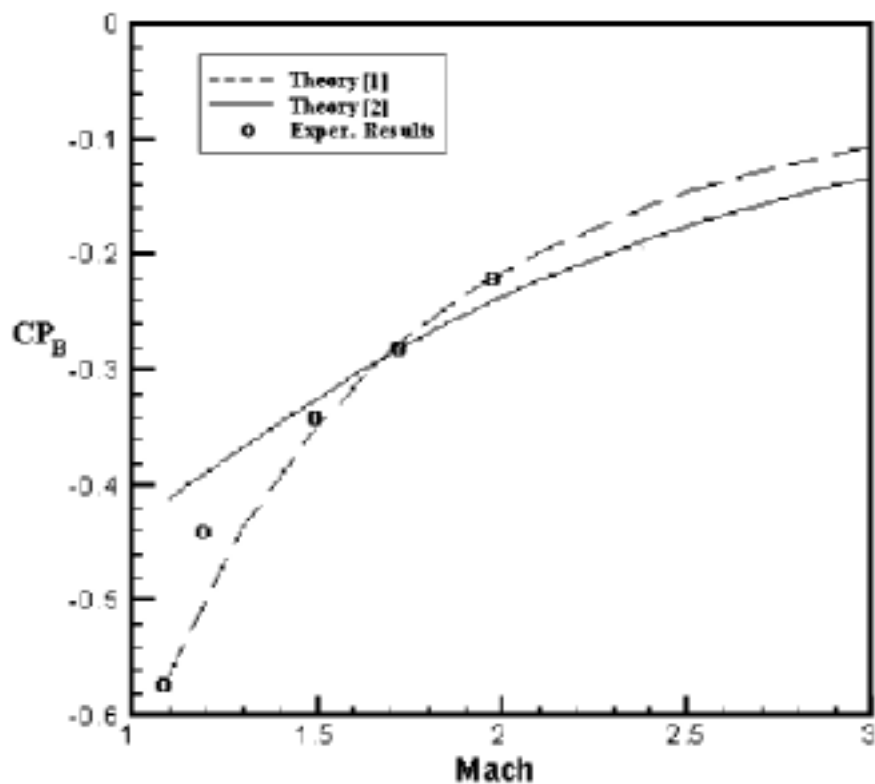


شکل ۱۱- الف) مدل دو بعدی

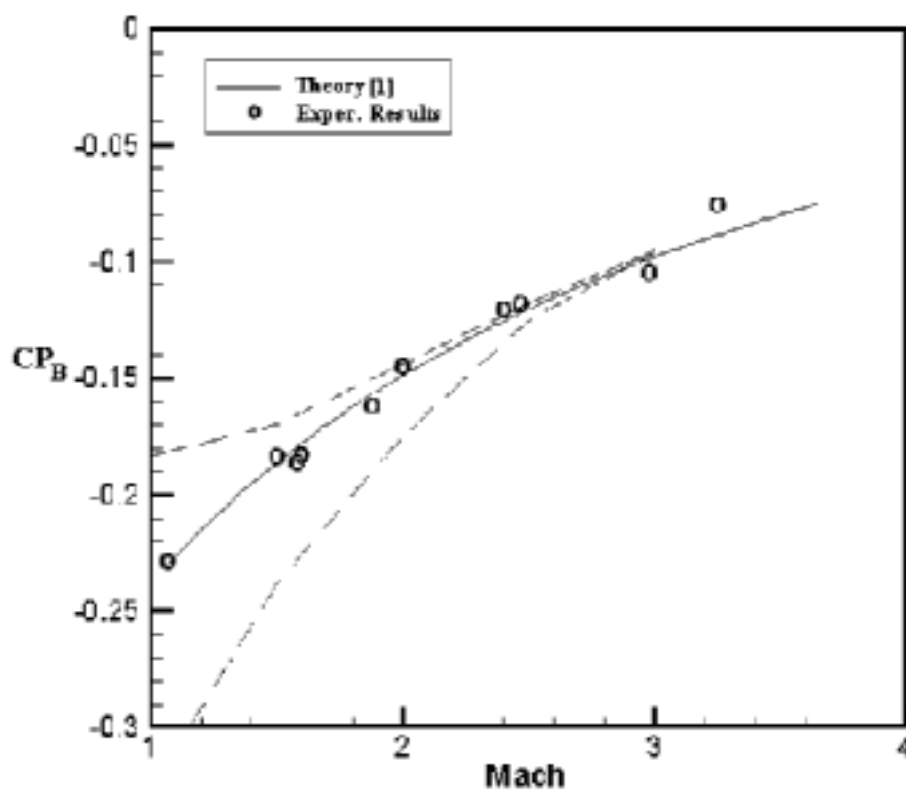


شکل ۱۱- ب) مدل استوانه‌ای (تقارن محوری)

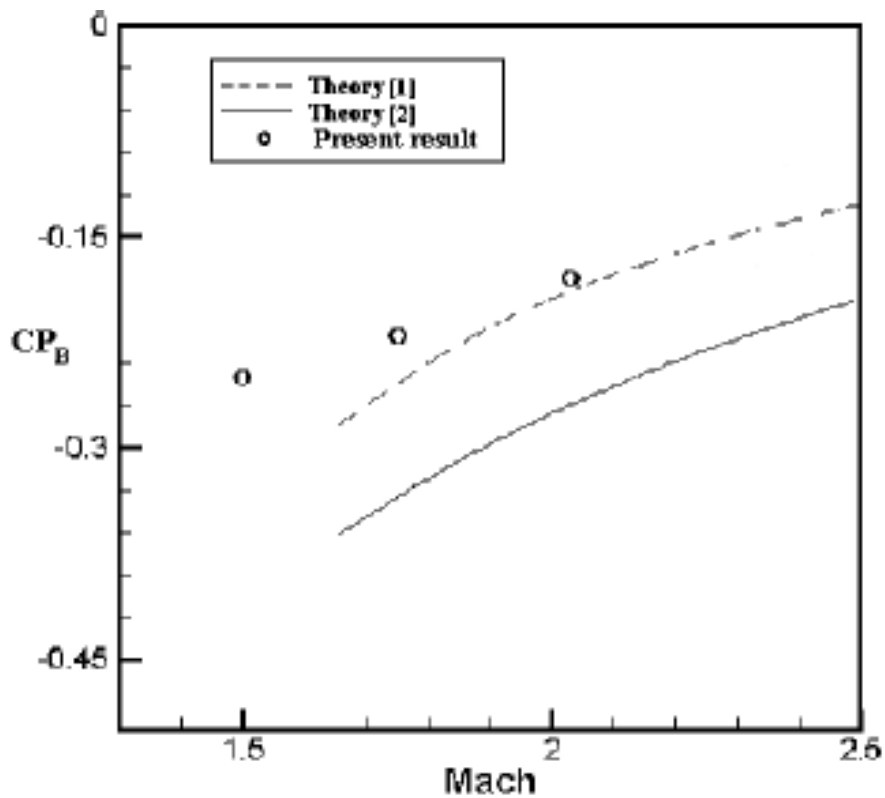
شکل ۱۱- توزیع فشار مینا پشت مدلها



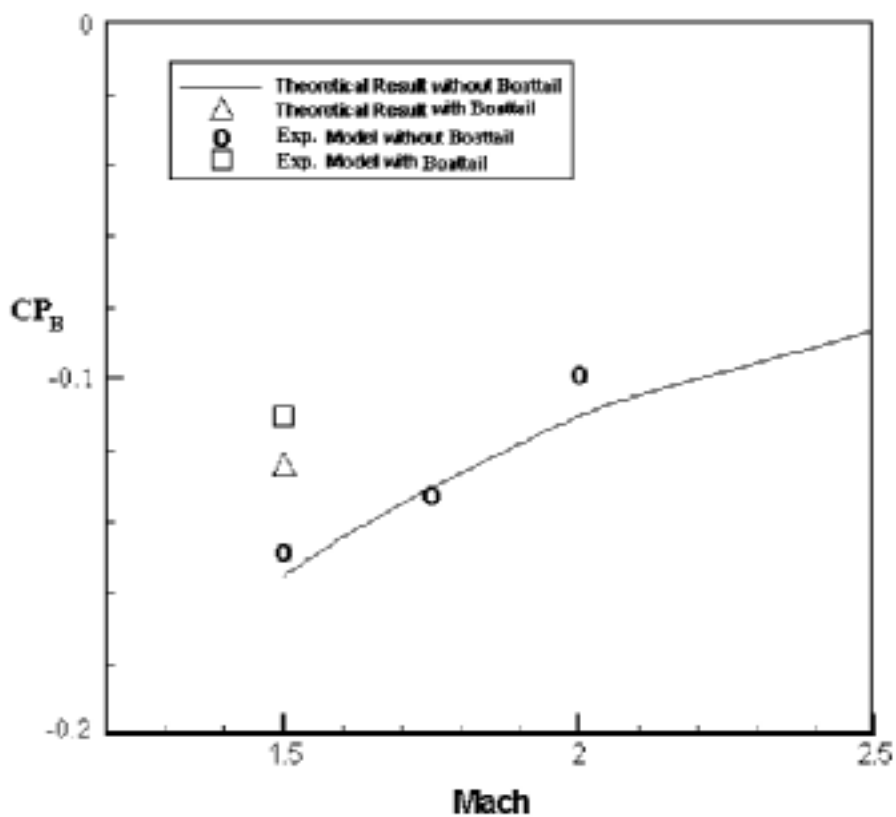
شکل ۱۲- توزیع ضریب فشار مینا نسبت به عدد ماخ (پله) [۱]



شکل ۱۳- توزیع ضریب فشار مینا نسبت به عدد ماخ (استوانه) [۱]



شکل ۱۴- توزیع ضریب فشار مبنا نسبت به عدد ماخ (دوبعدی)



شکل ۱۵- توزیع ضریب فشار مبنا نسبت به عدد ماخ (تقارن محوری ، روش تانر)

نیست. برای صحت این نظریه لازم به انجام آزمایشات متعددی در عددهای ماخ مختلف و شکلهای متفاوتی است.

## ۷- نتیجه گیری

آزمایشهای متعددی روی مدل‌های دو بعدی و تقارن محوری در سرعت‌های مافوق صوت برای بررسی توزیع فشار و همچنین فشار مینا در تونل باد سه منظوره انجام گرفته و نتایج به دست آمده با نظریه‌های موجود مقایسه شده است. نتایج حاصله حاکی از آن است که در بیشتر شرایط نظریه مرجع [۱] از دقت مناسبی برخوردار بوده و از این نظریه می‌توان برای محاسبه فشار مینا و نتیجتاً نیروی پسای حاصله برای محاسبه پسای کل مدل‌هایی که دارای سطح مینا هستند و در این تونل آزمایش می‌شوند، استفاده کرد. لازم به ذکر است که در آزمایشهای اندازه‌گیری نیرو، بالانسهای داخلی قادر به اندازه‌گیری نیروی پسای مینا نیستند لذا این آزمایشها برای بررسی دقت نظریه‌های موجود و نحوه استفاده از آنها انجام گرفت.

## قدردانی

نگارندگان از مسئولان محترم مرکز تحقیقات ایرودینامیک قدر دانشگاه امام حسین (ع) به دلیل در اختیار گذاشتن تونل باد سه منظوره آن مرکز و حمایت‌های بی دریغ در انجام تحقیق فوق سپاسگزاری می‌کنند. همچنین از کارشناسان فنی مرکز که ما را در انجام آزمایشهای مربوطه یاری کردند، صمیمانه قدرانی و سپاسگزاری می‌شود.

قایقی در دو نقطه اندازه‌گیری شده است. نتایج حاصله از تونل با نظریه موجود [۱] مقایسه شده است. همان طوری که از شکل پیداست، در عددهای ماخ کوچکتر از  $M_{\infty} = 1/5$  نتایج نظری از دقت خوبی برخوردار نیستند ولی به نظر می‌رسد در ماخ  $M_{\infty} > 2$  اختلافات کاهش می‌یابد. این پدیده به دلیل جدا شدن موج ضربه‌ای در عدد ماخ  $M_{\infty} = 1/5$  از نوک گوه است. در مقایسه شکلهای (۱۴) و (۱۲) مشاهده می‌شود که در تمامی اعداد ماخ آزمایش شده  $|C_{PB}|$  پله بیشتر از  $|C_{PB}|$  جسم دو بعدی، شکل (۱۵)، است و همچنین با افزایش عدد ماخ گام کاهش  $|C_{PB}|$  پله از گام کاهش  $|C_{PB}|$  جسم دو بعدی به مراتب بیشتر است.

اثرات عدد ماخ روی ضریب فشار مینا مدل تقارن محوری که شماتیک آن در شکل (۸-ب) آورده شده است در شکل (۱۵) نشان داده شده و با نتایج نظریه موجود [۱] مقایسه شده است. به نظر می‌رسد که در عددهای ماخ آزمایش شده برای این جسم، اختلاف نتایج نظری و تجربی به مراتب کمتر از نتایج جسم دو بعدی، شکل (۱۴)، است. در مقایسه این شکل با شکل (۱۴) باز هم اثرات سه بعدی بودن جریان که همان کاهش  $|C_{PB}|$  در کلیه عددهای ماخ است، مشاهده می‌شود. ضریب فشار مینا،  $|C_{PB}|$ ، در مقایسه با نتایج مشابه شکل (۱۴) در اعداد ماخ آزمایش شده کمتر است. برای جسم تقارن محوری با دم قایقی فشار مینا در عدد ماخ،  $M_{\infty} = 1/5$ ، اندازه‌گیری شده در شکل (۱۵) آورده شده است. در مقایسه با نتایج نظری، به نظر می‌رسد که نظریه مرجع [۱] قادر به پیش بینی دقیق  $C_{PB}$  برای این اجسام، تقارن محوری با دم قایقی،

## واژه‌نامه

## مراجع

### 1. reattachment point

1. Tanner, M., "Steady Base Flow," *Journal of Aerospace Science* Vol.2, PP. 81-157, 1984.
2. Krost, H. H., "A Theory for Base Pressures in Transonic and Supersonic Flow," *Journal of Applied Mechanics*, PP. 593-600, 1956.

3. Chapman, D. R., "An Analysis of Base Pressure at Supersonic Flow," NACA Report 1051, 1951.
4. Zcurow M. J., and Hoffman J. D., *Gas Dynamic*, Vol. 2, Krieger Publishing Company, 1985.

5. Pope, A., and Goin K. L., *High Speed Wind Tunnel Testing*, Krieger Publishing Company, 1978.
  6. Claude, B., "Supersonic Base Flow Investigation Over Axisymmetric After Bodies", SPIE Vol. 2052, *Laser Anemometry Advances and Applications*, PP. 249-256, 1993.
  7. Oswatitsch, K., "Der Luftwiderstand Als Tintegral Des Entropiestromes," *Nachr. Akad Wiss Gottiugen, Math.-Phys.kl.*, pp.88-90, 1945.
  8. Nnetsvetailov, E. M., "A Study of the Base Pressure Behind Circular Steps," *TSAGI, Uchenye Zapiski*, Vol. 21, No. 5, pp. 124 – 127, 1990.
  9. Lamb, J. parker, "A Review and Development of Correlations for Base Pressure and Base Heating in Supersonic Flow," Sandia National Labs, Albuquerque, NM, 1993.
۱۰. حقیری، ع.، "تعیین ضریب فشار قاعده به روش محاسباتی و تجربی در حالت دو بعدی و تقارن محوری،" پایان نامه کارشناسی ارشد، دانشگاه صنعتی امیر کبیر، ۱۳۷۹.